

К ТЕОРИИ НАЧАЛЬНОЙ СТАДИИ ЭЛЕКТРИЧЕСКОГО РАЗРЯДА В ВОДЕ

А. И. Иоффе (Москва)

Эксперименты по электрическому разряду в воде показывают, что такие величины, как электрический ток в цепи, напряжение, радиус канала, разряда, давление в импульсе сжатия и некоторые другие, а также изменение этих величин со временем, по-видимому, могут быть определены по четырем задаваемым параметрам: начальному напряжению на конденсаторе V_0 , индуктивности разрядного контура L , емкости разряжаемого конденсатора C и длине межэлектродного промежутка l .

Для описания поведения разряда во времени можно попытаться составить систему уравнений, которая должна включать в себя и величины, характеризующие электрическую цепь разряда, и величины, относящиеся к каналу разряда, образуемому в результате пробоя. Решение системы должно дать зависимость интересующих величин от времени.

Будем считать, что электрическая цепь разряда представляет собой обычную цепь колебательного контура с заданными L и C , сопротивление же цепи будет целиком определяться меняющимся со временем сопротивлением канала разряда. Канал разряда представляет собой цилиндр, расширяющийся со временем.

Для электрической цепи можно воспользоваться обычным уравнением колебательного контура (1)

$$\frac{d^2V}{dt^2} + \frac{R_e}{L} \frac{dV}{dt} + \frac{V}{LC} = 0 \quad \left(R_e = \frac{\rho_e(t) l}{S(t)} \right)$$

Здесь V — напряжение на конденсаторе, R_e — омическое сопротивление канала разряда.

ρ_e — удельное сопротивление, а $S(t)$ — площадь поперечного сечения канала.

По оценкам температура в канале разряда составляет $10-30 \cdot 10^3$ °K [1,2], и хотя при таких температурах плазма в канале разряда не полностью ионизована, будем считать, что сопротивление плазмы определяется лишь взаимодействием электронов с ионами, ρ_e определяем выражением [3]

$$\rho_e = \frac{\alpha \pi^{1/2} m_e^{1/2} e^2 \ln \Lambda}{2(2kT)^{3/2}} = \frac{c_1 \ln \Lambda}{T^{3/2}} \quad \Lambda = \frac{3}{2e^3} \left(\frac{k^3 T^3}{\pi n_e} \right)^{1/2} \quad (2)$$

Здесь m_e и e — масса и заряд электрона, T — температура, а $\alpha = 1.8$ — некоторый безразмерный коэффициент; n_e — плотность электронов.

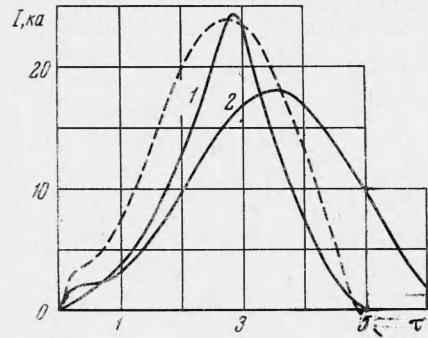
Если ограничиться рассмотрением разрядов, у которых скорость расширения канала v мала по сравнению со скоростью звука в воде c , то давление на стенку канала p связано со скоростью его расширения следующим образом [4]:

$$p = \frac{\rho}{2\pi} \frac{d^2S}{dt^2} \ln \left(\frac{\pi^{1/2} l}{S^{1/2}} \right) - \frac{\rho}{8\pi} \left(\frac{dS}{dt} \right)^2 \quad (3)$$

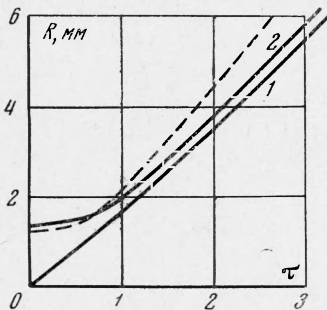
При выводе этой формулы считалось, что канал представляет собой непроницаемый цилиндр длины l и площадью поперечного сечения S (ρ — плотность жидкости). Выражение (3) справедливо, вообще говоря, при $R < l$ и $l \ll cT_1$, где R — радиус цилиндра, а T_1 — время, в течение которого происходит существенное изменение скорости расширения.

Будем считать, согласно [1], что вводимая в канал мощность расходуется на совершение работы против окружающей среды (работа расширения канала $dA = pdV$) и на изменение внутренней энергии плазмы. Плотность энергии плазмы ϵ в интересующем нас интервале давлений и температур можно аппроксимировать выражением

$$\epsilon = p/(\gamma-1) \quad (4)$$



Фиг. 1



Фиг. 2

Здесь p — давление, а $\gamma = 1.2$ (эффективный показатель адиабаты) [1]. Уравнение баланса энергии, таким образом, можно записать в виде (на единицу длины канала)

$$p \frac{dS}{dt} + \frac{1}{\gamma - 1} \frac{d(pS)}{dt} = C^2 \left(\frac{dV}{dt} \right)^2 \frac{\rho_e}{S} = I^2 R_e \quad \left(I = C \frac{dV}{dt} \right) \quad (5)$$

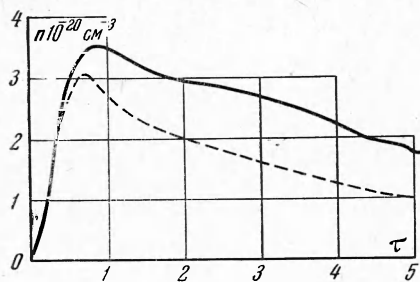
Правая часть уравнения (6) представляет собой обычные джоулевы потери.

Можно считать, что для плазмы в канале разряда справедливо уравнение состояния идеального газа

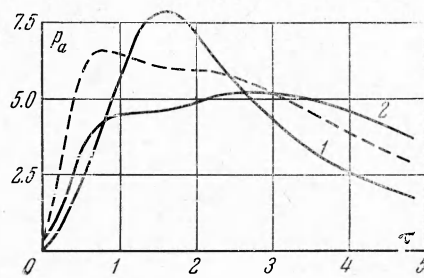
$$p = nkT \quad (6)$$

где n — плотность частиц. В принципе уравнений (1), (4), (6), (7) было бы достаточно для описания разряда, если бы масса газа в канале разряда была бы постоянна. Однако, по-видимому, и плотность частиц и масса газа в канале могут меняться за счет испарения воды в канал.

Будем считать, что существует граница между каналом разряда и окружающей водой и не будем учитывать влияние переходного слоя, существующего между водой и каналом.



Фиг. 3

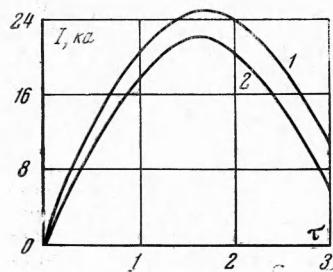


Фиг. 4

Положим, согласно Френкелю [5], что испарение жидкости с поверхности происходит со скоростью

$$w = m\nu_0 n_0^{2/3} \exp(-u/kT_0) \quad [г/см^2сек] \quad (7)$$

Здесь m — масса молекулы, ν_0 — некоторая характерная частота порядка дебаевской, n_0 — плотность частиц в жидкости, T_0 — температура на поверхности испаряющейся жидкости, u — энергия испарения на молекулу. Испарение происходит под действием потока тепла, падающего на границу жидкости. Будем считать, что канал разряда ведет себя как черное тело. Оценки пробегов излучения при температуре $\approx 2 \cdot 10^4$ °К и плотности $n = 10^{20}$ см $^{-3}$ по формулам, приведенным в [6], дают значение среднего пробега света $l \approx 10^{-1}$ см, так что в первом приближении можно считать это предположение выполняющимся. Тогда поток излучения с единицы поверхности канала $q = \sigma T^4$ (электронный поток $q_e \approx \kappa T / R$, где R — радиус канала, а $\kappa(T)$ — коэффициент электронной теплопроводности [3], примерно на два порядка меньше q при $T = 2 \cdot 10^4$ °К).



Фиг. 5

Положим, что поток q идет только на испарение воды внутрь канала. (В воде коэффициент поглощения света длины волны $\lambda = 1500$ Å (максимум Планка при $T \approx 2 \cdot 10^4$ °К) составляет $\sim 10^4$ см $^{-1}$, пробег света будет порядка 10^{-4} см и, вероятно, прогревания большой массы воды излучением происходить не будет.)

Выражение (7) позволяет в этом случае определить температуру на границе жидкости по известному потоку¹

$$q = \sigma T^4 = m n_0^{2/3} \nu_0 \exp(-u/kT_0)$$

При температуре $T = 2 \cdot 10^4$ °К, $n_0 = 3 \cdot 10^{22}$ см $^{-3}$, $\nu_0 = 10^{13}$ сек $^{-1}$ получим $T_0 \approx 700$ °К. Коэффициент теплопроводности воды $\kappa_1 \approx 6 \cdot 10^4$ эрг / см сек град [7], за время $\Delta t = 50$ мксек эффективная толщина прогрева воды $\delta = \sqrt{\kappa \Delta t / \rho c_p}$ составляет $\sim 3 \cdot 10^{-4}$ см, а поток тепла за счет теплопроводности со стенки $q_1 \approx$

¹ Подобная оценка проводится также в работе [10].

$\approx \kappa_1 T_0 / \delta \approx 10^{11}$ эрг / см²сек при $q \approx 9 \cdot 10^{12}$ эрг / см² сек, т. е. $q_1 \ll q$, и можем считать, что поток частиц внутрь канала за счет испарения будет определяться выражением q / u , где u — энергия испарения на молекулу. Для плотности частиц в канале n получим уравнение

$$d(nS) / dt = 2\pi R \sigma T^4 / u = 2\pi^{1/2} S^{1/2} T^4 / u \quad (8)$$

Уравнение (8) замыкает систему уравнений, необходимую для описания электрических параметров и параметров канала в процессе разряда. Эта система состоит из уравнений (1), (4), (6), (8), в которые следует подставить выражение (3) для сопротивления плазмы и исключить температуру, пользуясь уравнением состояния идеального газа $p = nkT$.

Система уравнений будет состоять соответственно из следующих уравнений: баланса энергии, правая часть которого представляет собой мощность, вводимую в канал разряда; уравнения для потока частиц; выражения для давления в канале и уравнения для напряжения на конденсаторе.

$$\begin{aligned} \frac{S}{\gamma-1} \frac{dp}{dt} + \frac{p\gamma}{\gamma-1} \frac{dS}{dt} &= \frac{C^2 \rho_0 10^7}{S} \left(\frac{dV}{dt} \right)^2 \left(\frac{p}{nk} \right)^{-3/2} \\ \frac{d(nS)}{dt} &= \frac{2\pi^{1/2} \sigma T^4 S^{1/2}}{u}, \quad p = \frac{\rho}{2\pi} \frac{d^2 S}{dt^2} \ln \left(\frac{\pi^{1/2} l}{S^{1/2}} \right) - \frac{\rho}{8\pi} \left(\frac{dS}{dt} \right)^2 \\ \frac{d^2 V}{dt^2} + \frac{\rho_0 l}{LS} \left(\frac{p}{nk} \right)^{-3/2} \left(\frac{dV}{dt} \right) + \frac{V}{LC} &= 0 \end{aligned} \quad (9)$$

Уравнения (9) должны быть проинтегрированы с соответствующими начальными условиями. Некоторые из них очевидны: в момент времени $t = 0$ конденсатор заряжен до заданного напряжения $V(0) = V_0$, тока в цепи нет, это приводит к условию

$$\left. \frac{dV}{dt} \right|_{t=0} = 0, \quad (I = C \frac{dV}{dt})$$

Остальные начальные условия не являются достаточно определенными. В работе [8] указывалось, что начальные радиусы каналов, замыкающих промежутки, составляют 0.3—0.7 мм. Если разряд инициируется проволочкой, то можно принять $S(0) = S_0$ равным поперечному сечению проволочки. Для системы (9) начальное значение выбиралось порядка 0.1 см²; принималось, что $dS/dt = 0$ при $t = 0$, а начальные температуры и плотность частиц составляли соответственно 10⁴ К и 10¹⁹ см⁻³. Изменение $T(0)$ и n_0 на 10—30% практически не сказывалось на значениях решения.

Уравнения (9) интегрировались численно на машине, предварительно преобразовываясь к безразмерному виду, с использованием переменных.

$$\begin{aligned} \tau &= t / (LC)^{1/2}, \quad \xi = S / \lambda^2, \quad \beta = p / p_0, \quad v = V / V_0, \quad \mu = n / n_0 \\ \lambda &= [C^2 V_0^2 L \cdot 5 \cdot 10^6 / l \rho]^{1/4}, \quad p_0 = [C V_0 \cdot 10^{1/2} l^3] \end{aligned} \quad (10)$$

В уравнениях (9) механические величины надо брать в системе CGS, а электрические — напряжение в в, индуктивность и емкость соответственно в мкн и ф.

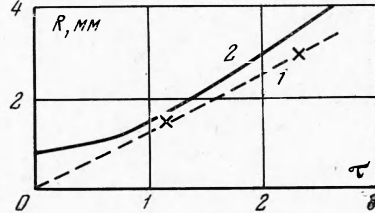
В новых переменных система уравнений (9) примет вид:

$$\begin{aligned} \frac{d\beta}{d\tau} &= \frac{\omega_2}{\xi^2} \left(\frac{\mu}{\beta} \right)^{3/2} \left(\frac{dv}{d\tau} \right)^2 - \frac{1,2\beta}{\xi} \left(\frac{d\xi}{d\tau} \right), \quad \frac{d\mu}{d\tau} = \frac{\omega_3}{\xi^{1/2}} \left(\frac{\beta}{\mu} \right)^4 - \frac{\mu}{\xi} \frac{d\xi}{d\tau} \\ \frac{d^2 \xi}{d\tau^2} &= \frac{\omega_4 \beta \xi + \omega_5 (d\xi/d\tau)^2}{\xi \ln(\omega' / \xi^{1/2})}, \quad \frac{d^2 v}{d\tau^2} = -v - \frac{\omega_1}{\xi} \left(\frac{\mu}{\beta} \right)^{3/2} \left(\frac{dv}{d\tau} \right) \\ \omega_1 &= \frac{(LC)^{1/2} (n_0 k)^{3/2} l \rho_0}{L \lambda^2 p_0^{3/2}}, \quad \omega_2 = \frac{\rho_0 (n_0 k)^{3/2} V_0^2 10^7 C^{3/2}}{5 \lambda^4 p_0^{5/2} L^{1/2}} \\ \omega_3 &= \frac{2\pi^{1/2} \sigma p_0^4 (LC)^{1/2}}{u \lambda^2 n_0^5 k^4}, \quad \omega_4 = \frac{2\pi p_0 LC}{\rho \lambda^2}, \quad \omega_5 = 1 / 8\pi, \quad \omega' = \pi^{1/2} l / \lambda \end{aligned} \quad (11)$$

При интегрировании считалось, что $\ln \Lambda = \text{const}$, $\rho_0 = c_1 \ln \Lambda$.

Результаты интегрирования показаны на фиг. 1—8 (кривая 2). Там же показаны и имеющиеся экспериментальные данные (кривая 1). Результаты, показанные на фиг. 1, 2, 3, 4, относятся к разряду с параметрами [1]:

$$C = 150 \text{ мкф}, \quad L = 2 \text{ мкн}, \quad V_0 = 6 \text{ кв}, \quad l = 7 \text{ см}, \quad \sqrt{LC} = 17.3 \text{ мксек}.$$



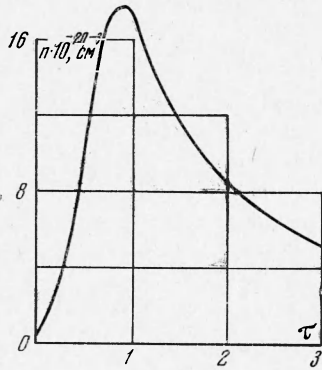
Фиг. 6

На фиг. 1 показана зависимость тока при разряде от времени, на фиг. 2 — зависимость радиуса канала разряда от времени, на фиг. 3 — плотность частиц в канале разряда. На фиг. 4 дана зависимость давления p_a (в атм) в импульсе сжатия на расстоянии 1 м от разряда в направлении, перпендикулярном оси канала разряда (экспериментальное определение производилось Н. А. Роем). Для описываемых разрядов при вычислении p_a можно воспользоваться выражением [9] (подробно см. [4])

$$p_a = \frac{\rho \dot{W}}{4\pi r} = \frac{\rho \dot{s} l}{4\pi r} \quad (12)$$

Здесь ρ — плотность воды, r — расстояние от источника звука (разряда) до точки наблюдения, W — объем излучателя звука (объем канала разряда).

Для данного режима из расчета получается, что разряд ведет себя аperiodически, что наблюдается и экспериментально. Получающаяся по расчету температура оказывается очень слабо меняющейся в пределах $9.5-10.5 \cdot 10^3$ °К.



Фиг. 7

На фиг. 5, 6, 7, 8 показаны соответствующие результаты для разряда, описанного в работе [8] с параметрами $C = 2.7$ мкф, $L = 7$ мкген, $V_0 = 40$ ке, $l = 1.5$ см, $\sqrt{LC} = 4.3$ мксек.

В этом случае оказывается, что разряд носит периодический характер, что также согласуется с экспериментом. Температура же разряда в этом случае имеет максимум, равный примерно $22 \cdot 10^3$ °К.

В обоих случаях видно, что масса газа в канале растет в процессе разряда.

При температуре $T \approx 10 \cdot 10^3$ °К максимум излучения черного тела находится вблизи видимой части спектра, вода становится прозрачной для этих длин волн, и на испарение идет, вероятно, лишь часть потока σT^4 . На фиг. 1—4 пунктирной линией показан результат расчета, сделанного в предположении, что на испарение идет поток $q' = 0.1 \sigma T^4$ (т. е. поглощается свет длины волны примерно от 2000 Å и ниже при $T = 10^4$ °К). В этом случае расчет показывает, что температура в канале довольно быстро достигает значений $\approx 18 \cdot 10^3$ °К и затем медленно меняется в пределах $18-19 \cdot 10^3$ °К для времен, указанных на фигурах.

Автор благодарит Ю. П. Райзера за советы и внимание, К. А. Наугольных и Н. А. Роя за полезные дискуссии.

Акустический ин-т
АН СССР

Поступила 30 V 1966

ЛИТЕРАТУРА

1. И о ф ф е А. И., На у г о л ь н ы х К. А., Р о й Н. А. О начальной стадии электрического разряда в воде. ПМТФ, 1964, № 4.
2. M a r t i n E. Experimental Investigation of High-Energy Arc Plasma. J. Appl. Phys., 1960, vol. 31, p. 255.
3. С п и т ц е р Л. Физика полностью ионизованного газа. Изд. Мир, 1965.
4. На у г о л ь н ы х К. А., Р о й Н. А. О связи между гидродинамическими и электрическими характеристиками разряда в жидкости. Докл. АН СССР, 1966, т. 168, стр. 556.
5. Ф р е н к е л ь Я. И. Кинетическая теория жидкостей. Изд. ГТТЛ, 1945.
6. З е л ь д о в и ч Я. Б., Р а й з е р Ю. П. Физика ударных волн и высокотемпературных гидродинамических явлений, Физматгиз, 1963.
7. К э й Д ж., Л э б и Т. Таблицы физических и химических постоянных. Изд. иностр. лит., 1963.
8. С к в о р ц о в Ю. А., К о м е л ь к о в В. С., К у з н е ц о в Н. М. Расширение канала искры в жидкости. Ж. техн. физ., 1960, т. 30, стр. 1165.
9. Л а н д а у Л. Д., Л и ф ш и ц Е. М. Механика сплошных сред. Гостехиздат, 1954.
10. А н и с и м о в С. И., Б о н ч - Б р у е в и ч А. М., Е л ь я ш е в и ч М. А. и др. Действие мощных световых потоков на металлы. Ж. техн. физ., 1966, т. 36, стр. 1213.